



استخراج معادلات حرکت یک ربات چرخ دار و کنترل آن با استفاده از استراتژی امپدانس چندگانه تعمیم یافته

رامبد رستگاری^{۱*}، خلیل عالی‌پور^۲

۱- استادیار، مهندسی مکانیک، دانشگاه آزاد اسلامی واحد پرند، پرند

۲- استادیار، مهندسی مکاترونیک، دانشگاه تهران، تهران

* تهران، صندوق پستی ۱۴۹۴۹۱۶۳۷۷

چکیده

استفاده از سیستم‌های خودکار جهت اکتشافات فضایی، می‌تواند به صورت چشمگیر هزینه‌های انجام مأموریت مورد نظر را کاهش دهد. یکی از ساختارهایی که قابلً در اکتشافات فضایی مورد استفاده قرار گرفته است، ربات‌های چرخ دار بوده است. ربات‌های چرخ دار دارای فضای کاری بسیار وسیعی هستند و همچنین می‌توانند با سرعت مناسب حرکت کنند. این سیستم‌ها معمولاً دارای مکانیزم‌های ساده بوده و از حیث مصرف انرژی مناسب هستند. در بسیاری از پژوهش‌های گذشته، پایه‌ی این نوع ربات‌های چرخ دار دارای شاسی سلب است؛ ولی چنانچه حرکت سیستم بر روی زمین‌های نسبتاً نااصف مدنظر باشد، بهتر است سیستم دارای تعليق انتطاف‌پذیر باشد. به علاوه، در بسیاری از تحقیقات گذشته از مدل کردن نیروهای اصطکاک غیرخطی بین چرخ‌ها و زمین صرف‌نظر گردیده است. بر این اساس، در این مقاله، معادلات دینامیک حرکت یک ربات چرخ دار با در نظر گرفتن چرخ‌های بادی و مجهز به سیستم تعليق انتطاف‌پذیر، استخراج می‌گردد. برای شبیه‌سازی اصطکاک و لغزش چرخ‌ها از مدل دوگانه استفاده شده است. با در نظر گرفتن گشتاور چرخ‌ها به عنوان ورودی، به ارائه یک قانون تنظیم حرکت دولایه جدید می‌پردازیم. در این قانون امکان کنترل زاویه فراز پلتفرم با تنظیم نیروی اصطکاک چرخ‌ها فراهم می‌گردد. در لایه‌ی نخست کنترل گر، حرکت ربات چرخ دار با استفاده از استراتژی امپدانسی چندگانه اصلاح شده برآورده شده و در لایه‌ی دوم، که مدایت موضعی نامیده می‌شود، گشتاور اعمالی به چرخ‌ها و زوایای فرمان آن‌ها به شکلی تنظیم می‌شود که نیروها/گشتاورهای خروجی مطلوب لایه‌ی نخست محقق گردد. نتایج شبیه‌سازی، قابلیت‌های مطلوب الگوریتم جدید را برای ربات‌های چرخ دار نشان می‌دهد.

اطلاعات مقاله

مقاله پژوهشی کامل

دربافت: ۲۱ اسفند ۱۳۹۵

پذیرش: ۱۲ فروردین ۱۳۹۶

ارائه در سایت: ۲۵ اردیبهشت ۱۳۹۶

کلید واژگان:

اکتشافات فضایی

ربات چرخ دار

امپدانس چندگانه اصلاح شده

Deriving equations of motion of a wheeled mobile robot and its control using extended multiple impedance strategy

Rambod Rastegari^{1*}, Khalil Alipour²

1- Department of Mechanical Engineering, Islamic Azad University, Parand Branch, Parand, Iran

2- Department of Mechatronics Engineering, University of Tehran, Tehran, Iran

*P.O.B. 1494916377, Tehran, Iran, r_rastegari@piau.ac.ir

ARTICLE INFORMATION

Original Research Paper
Received 11 March 2017
Accepted 01 April 2017
Available Online 15 May 2017

Keywords:
Space Explorations
Wheeled Robot
Modified Multiple Impedance

ABSTRACT

The use of automatic systems for space exploration can dramatically decrease the cost of desired mission. One of the structures that has previously been utilized for space exploration is the wheeled rovers. Wheeled rovers have wide work space and can move with a proper velocity. Their mechanisms are simple and are energy efficient. In most of the previous studies, it has been assumed that the wheeled robot chassis is rigid. However, if the wheeled robot motion on relatively rough terrain is required, then it should be equipped with flexible suspension. Also, in most of the earlier studies, the nonlinear friction between the wheels and the ground has not been modeled. Consequently, in this paper, the dynamics equations of a wheeled robotic system with flexible suspension are derived. To model the friction and wheels slip, the Dugoff friction model is utilized. Considering the wheels torque as inputs, a novel two-layer driver is proposed. Adopting the suggested algorithm, the control of pitch angle is possible. In the first layer, the motion of the system is adjusted using modified multiple impedance approach. Also, in the second layer, which is called local controller, the actuating torque of wheels is adjusted so that output forces/torques of the first layer can be realized. The obtained simulation results support the merits of the proposed new motion strategy control.

صورت چشمگیری کاهش دهد [۲-۱]. امروزه در حوزه‌ی کاوشگرهای

ساختارهای متنوع وجود دارد. سیستم‌های پایه متحرک در مقایسه با نمونه‌های پایه ثابت، فضای کاری نامحدودی دارند و از این جهت بسیار مورد

استفاده از کاوشگرهای جهت انجام مأموریت‌های فضایی دقیق و نیز اکتشافات کرات آسمانی دیگر، می‌تواند ریسک انجام مأموریت و هزینه‌های آن را به

-۱- مقدمه

برای ارجاع به این مقاله از عبارت ذیل استفاده نمایید:

R. Rastegari, Kh. Alipour, Deriving equations of motion of a wheeled mobile robot and its control using extended multiple impedance strategy, *Modares Mechanical Engineering*, Vol. 17, No. 5, pp. 394-404, 2017 (in Persian)



شکل ۱ کاوشگر ناسا جهت اکتشافات فضایی [1]

[1] شکل ۱ کاوشگر ناسا جهت اکتشافات فضایی [1]

با وجود تحقیقات اشاره شده در بالا، در همه‌ی آنها فرض بر آن است که چرخهای ربات دارای هیچ گونه لغزشی نیستند. از این رو همواره مسئله نیروی اصطکاک در این کارهای آشکار نیست. از این رو در برخی از تحقیقات صورت گرفته در سال‌های اخیر، مدل واقع‌بینانه‌تری از سامانه‌ای که شامل لغزش و نیروهای اصطکاکی است در نظر گرفته شده است [18-21].

علی‌رغم این مطلب در هیچ یک از کارهای فوق، ربات چرخ دار دارای سیستم تعليق انعطاف‌پذیر نمی‌باشد.

در حوزه‌ی بازوهای چرخ دار پژوهش‌های بسیار محدودی ارایه گردیده است که در آنها سامانه مجهز به سیستم تعليق انعطاف‌پذیر باشد [24-22]. علیرغم این مطلب در [23,22] ربات در نظر گرفته تحت قیود ایده‌آل عدم لغزش فرض گردیده است. همچنین، در مرجع [24] نیز علی‌رغم در نظر گرفتن اثرات لغزش، کنترل ربات، بدون نظر گرفتن مدل اصطکاک صورت پذیرفته است.

در این مقاله، مدل دینامیکی یک ربات چرخ دار با در نظر گرفتن چرخ‌های بادی و مجهز به سیستم تعليق انعطاف‌پذیر، با در نظر گرفتن مدل دوگاف^۵ برای شبیه‌سازی اصطکاک و لغزش چرخ‌ها، استخراج می‌شود. همچنین با در نظر گرفتن گشتاور چرخ‌ها به عنوان ورودی، به ارائه یک قانون کنترل حرکت دولایه جدید می‌پردازیم. در این قانون، امکان تنظیم زاویه فراز پل‌غیرم با تنظیم نیروی اصطکاک چرخ‌ها فراهم می‌گردد. در لایه‌ی نخست کنترل گر، حرکت سامانه، با استفاده از قانون کنترلی امپدانسی چندگانه اصلاح شده تنظیم شده و در لایه‌ی دوم، که تنظیم رفتار موضعی نامیده می‌شود، گشتاور اعمالی به چرخ‌ها به شکلی تنظیم می‌شود که نیروها/گشتاورهای خروجی مطلوب لایه‌ی نخست محقق گردد.

در ادامه و پس از این مقدمه، در بخش دوم، مدل ربات چرخ دار مجهز به سیستم تعليق انعطاف‌پذیر با در نظر گرفتن مدل اصطکاکی چرخ‌ها و اثر لغزش استخراج می‌گردد. در بخش سوم، سنتریوی تنظیم حرکت پیشنهادی ارایه می‌گردد. برای این منظور، ابتدا در لایه‌ی نخست کنترل گر، به علت وجود مفاصل غیرفعال، استراتژی امپدانس چندگانه (MIC) را برای حالاتی که از مفاصل غیرفعال بهره می‌گیریم، اصلاح می‌کنیم. همچنین با استفاده از لایه‌ی دوم، نحوی تنظیم ورودی‌های اصلی کنترلی جهت تحقیق نتایج لایه‌ی اول به صورت مشروح بحث خواهد گردید. نتایج شبیه‌سازی‌های به دست آمده در بخش چهارم، قابلیت‌های مطلوب الگوریتم جدید را برای ربات‌ها

توجه قرار گرفته‌اند. یکی از ساختارهای متداول کاوشگرهای پایه متحرک، سامانه‌های چرخ دار می‌باشند. مزایای کاوشگرهای چرخ دار، آنها را برای طیف زیادی از کاربردهای فضایی در محیط‌های ساختار یافته و غیرساختار یافته مناسب می‌سازد که به عنوان نمونه می‌توان به کاوشگر مریخ ناسا اشاره نمود. این کاوشگر، قابلیتش را برای دستیابی به اهداف مأموریت اکتشاف و انجام آزمایش‌ها بر سیاره سرخ به شکل موقوفیت‌آمیزی ارائه داده است، "شکل ۱". با توجه به جاذبه‌ها و کاربردهای فراوان ربات‌های چرخ دار، تحقیقات فراوانی بر روی مدل‌سازی و تنظیم حرکت آنها ارایه گردیده است [3].

در [4]، یک روش سامانمند برای استخراج مدل دینامیک خودروهای خودکار ارائه گردیده است. در این مراجع از ایده‌ی مکمل متعامد طبیعی^۱ برای به دست آوردن معادلات مستقل حرکت یک AGV^۲ که دارد قید غیرهولونومیک است استفاده شده است. ایده‌ی روش مسیر مستقیم^۳ باعث سادگی در محاسبات سینماتیکی سامانه‌های پیچیده‌ای نظری فضایی‌های پرواز فعال^۴ است [5]. همچنین در [6]، با استفاده از این ایده، مدل صریح دینامیک سامانه‌های با حرکت آزاد در فضا که دارای چند بازوی عامل هستند ارائه شده است. برمبانی مدل ارائه شده در [6]، مدل دینامیکی ربات چرخ دار زمینی که دارای پایه‌ی دیفرانسیلی بوده و مجهز به چرخ‌های غلتی رایج هستند در مرجع [7] استخراج گردیده است. در مرجع [8]، سینماتیک دو نوع ربات چرخ دار با پایه‌های شبیه خودرو و دیفرانسیلی مورد بررسی قرار گرفته و دینامیک ربات‌های چرخ دار با پایه‌ی دیفرانسیلی استخراج شده است. همچنین سینماتیک، سینتیک و کنترل ربات‌های چرخ دار که دارای پایه‌ی شبیه خودرو هستند در [9] ارائه گردیده است. برای صحه‌گذاری دینامیک بدست آمده به دو روش، ماتریس‌هایی که مبین دینامیک سیستم هستند محاسبه گردیده و با مقایسه‌ی آن‌ها با یکدیگر، صحت‌سقمه مدل دینامیکی مورده بحث قرار گرفته است. با استفاده از روش فرمولاسیون کار مجازی، دینامیک صریح سامانه‌ی متحرک که دارای پایه‌ی شبیه خودرو بوده و قید غیرهولونومیک بر حرکت آن تحمیل گردیده است، استخراج شده است، [10]. رهیافت ارائه شده، کلی بوده و برای انواع سیستم‌های سامانه‌های چرخ دار که دارای قید غیرهولونومیک هستند، قابل استفاده است.

مدل دینامیکی چند ربات پایه متحرک چرخ دار که جسم الاستیکی را باهم جابجا می‌کنند با استفاده از دینامیک کین ارائه شده است [11]. قیود غیرهولونومیک به حرکت پایه‌ها اعمال شده است. همچنین مجموعه‌ی تمامی قیدها آنالیز شده و مشخصات مناسبی برای ارائه جواب برای نیروهای عکس العمل زمین پیشنهاد گردیده است. در [12]، دینامیک یک سامانه‌ی بستر پویا با چرخ‌های دیفرانسیلی و مجهز به چند بازوی عامل استخراج شده و سپس، جایگایی یک جسم توسط قانون امپدانس چندگانه کنترل گردیده است. در [13]، سینماتیک مستقیم، سینماتیک معکوس و پایداری یک بازوی متحرک چرخ دار مورد بررسی قرار گرفته است. پایه‌ی سیستم در نظر گرفته دارای دوچرخ بارانش دیفرانسیلی و یک چرخ هرز گرد، جهت بهبود تعادل سیستم، می‌باشد. جهت محاسبه سینماتیک مستقیم مستقیم استفاده گردیده استفاده از ژاکوبین از تحلیل موقعیت و مشتق گیری مستقیم استفاده گردیده است. در مراجع گوناگونی [14-17] نیز، به استخراج مدل سینماتیکی/دینامیکی و کنترل حرکت سامانه‌های چرخ دار به همراه تریلر برداخته شده است.

¹ Natural Orthogonal Complement, NOC² Automated Guided Vehicle, AGV³ Direct Path Method⁴ Space Free-Flyer⁵Dugoff

$$\sum F = 0 \Rightarrow F_{SR} + F_{SF} - (m_0 + m_{arm})g = 0 \quad (1)$$

$$\begin{aligned} \sum M_A = 0 &\Rightarrow -F_{SR} \times \frac{L_0}{2} \cos\theta_0 + F_{SF} \times \frac{L_0}{2} \cos\theta_0 \\ &- m_{arm} g \frac{L}{2} \cos(\theta_0 + \psi_0) = 0 \end{aligned} \quad (2)$$

در این روابط، F_{SR} و F_{SF} به ترتیب، مبین نیروهای اعمالی از سوی تعليق جلو عقب شاسي می‌باشد. در معادله (2) با توجه به وضعیت تعادل، از اثرات نیروهای رانش صرف نظر شده است. در اينجا، $\psi_0 = 45^\circ$ را در نظر مي‌گيريم. نیروهای ايجادشده در سیستم تعليق جلو و عقب در وضعیت تعادل استاتیکی نیز به ترتیب از روابط زیر تعیين می‌شوند:

$$F_{SF} = K_F \left(Z_0 - \frac{L_0}{2} \sin\theta_0 \right) \quad (3)$$

$$F_{SR} = K_R \left(Z_0 + \frac{L_0}{2} \sin\theta_0 \right) \quad (4)$$

با جایگذاری معادلات (3) و (4) در معادلات (1) و (2) و حل دستگاه معادلات حاصله، می‌توان مقادير Y_0 و θ_0 را تعیين نمود.

2- استخراج معادلات دینامیکی بدون در نظر گرفتن نیروی اصطکاک چرخ

"شکل 3" وضعیت عمومی ربات چرخ دار را حین حرکت، نشان می‌دهد. نیروهای اعمالی از سیستم تعليق جلو و عقب در وضعیت دینامیکی به ترتیب برابر هستند با:

$$F_{SF} = K_F \left(Z_0 - Z - \frac{L_0}{2} \sin(\theta_0 + \theta) \right) \quad (5)$$

$$F_{SR} = K_R \left(Z_0 - Z + \frac{L_0}{2} \sin(\theta_0 + \theta) \right) \quad (6)$$

همچنین بردار موقعیت مرکز جرم بازوی مفصل شده در مرکز جرم پلتفرم به شکل زیر قابل محاسبه است:

$$x_{arm} = X_p + \frac{L}{2} \cos(\psi + \theta + \theta_0) \quad (7)$$

$$z_{arm} = Z_p + \frac{L}{2} \sin(\psi + \theta + \theta_0) \quad (8)$$

که در روابط فوق X_p و Z_p مبین موقعیت پایه‌ی سیستم در امتداد افق و قائم می‌باشد. برای بررسی وضعیت دینامیکی سیستم لازم است ماتریس

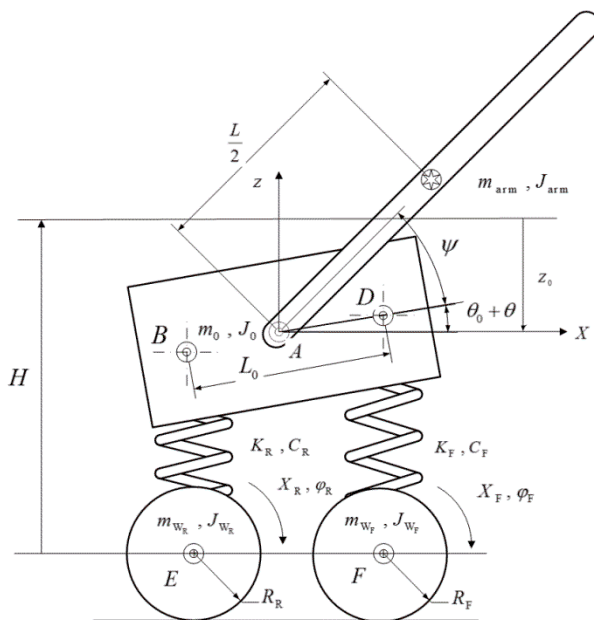


Fig. 3 Wheeled planar explorer in general situation

شکل 3- ربات صفحه‌ای چرخ دار در وضعیت کلی

نشان می‌دهد. در بخش پنجم نیز به صورت اجمالی، به اصلاحات مدل ارایه شده برای حرکت عمومی پرداخته خواهد شد.

2- مدل سازی دینامیکی ربات چرخ دار

2-1- استخراج معادلات حرکت ربات چرخ دار صفحه‌ای

در این بخش، هدف استخراج معادلات دینامیکی سیستم بستر متحرک صفحه‌ای چرخ دار است. در این راستا ابتدا برای ساده‌سازی کار، از اثرات مستقیم نیروی اصطکاک بین چرخ و زمین چشم‌پوشی می‌شود و در مراحل بعد، این اثرات در محاسبات لحاظ می‌گردد. همچنین برای تعیین مقادیر متغیرها در وضعیت استاتیکی، از معادلات تعادل سیستم استفاده می‌شود.

2-2- تعیین متغیرهای تعیین یافته در حالت تعادل استاتیکی

یک بازوی پایه متحرک چرخ دار را مطابق "شکل 2" در نظر بگیرید. این سیستم شامل یک شاسي است که توسط سیستم تعليق بر دو چرخ سوار است و بر سطحی صاف/انصاف می‌تواند در جهات x و y حول محور عمود بر صفحه دوران نماید. همچنین بازویی یک درجه آزادی با مفصل دورانی به آن متصل شده است. "شکل 2" این سیستم را در وضعیت تعادل استاتیکی نشان می‌دهد. فرض می‌کنیم بعد از تحت بار قرار گرفتن سیستم تعليق، مرکز جرم شاسي به میزان Y_0 به سمت پایین و خود شاسي به میزان θ_0 در جهت پادساعت‌گرد دوران نماید تا به وضعیت تعادل برسد. در "شکل 2"، متغیر H ارتفاع مرکز جرم شاسي را نسبت به مرکز چرخ‌ها در وضعیتی که فن‌های تعليق در طول طبیعی خود هستند نشان می‌دهد. همچنین L مبین طول بازوی ربات بوده و سایر پارامترها نیز در "شکل‌های 2 و 3" نشان داده شده‌اند. به علاوه، L_0 فاصله محل اتصال دو فن به شاسي است که مرکز جرم شاسي در وسط آن قرار دارد. وضعیت اولیه بازو نسبت به شاسي را نیز ψ در نظر می‌گيريم. طول آزاد فن‌ها نیز باهم برابر فرض شده‌اند. متغیرهای سیستم در وضعیت دینامیکی نسبت به وضعیت تعادل استاتیکی در نظر گرفته می‌شوند. خاطرنشان می‌شود که متغیر Y را نسبت به وضعیت تعادل و به سمت بالا در نظر گرفته‌ایم. همچنین متغیر θ در حالت دینامیکی وضعیت شاسي در هرلحظه را نمایش می‌دهد.

معادلات تعادل استاتیکی برای ربات صفحه‌ای در حالت تعادل در وضعیت تعادل را به شکل زیر می‌توان نوشت:

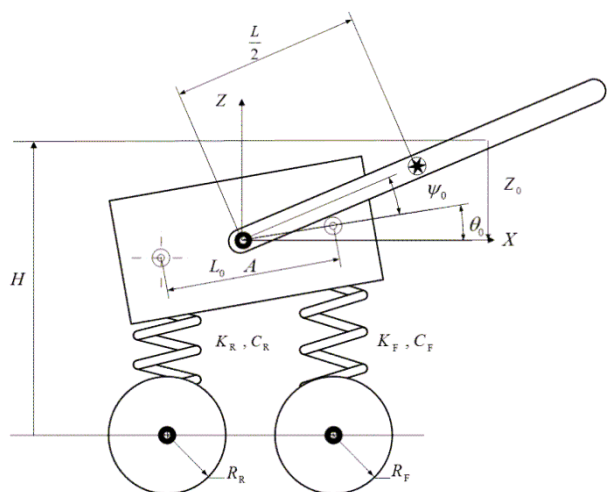


Fig. 2 Wheeled planar robot in static equilibrium situation

شکل 2 ربات صفحه‌ای چرخ دار در وضعیت تعادل استاتیکی

$$M\ddot{q} + C + G = \Gamma^T Q_m = \begin{cases} F_T \\ 0 \\ \tau_{arm} \\ M_T \end{cases} \quad (18)$$

که در آن:

$$\Gamma = \begin{bmatrix} 1 & 0 & 0 & 0 \\ 0 & 0 & 1 & 0 \\ 0 & 0 & 0 & 1 \end{bmatrix} \quad (19)$$

$$Q_m = \begin{cases} F_T \\ \tau_{arm} \\ M_T \end{cases} \quad (20)$$

از معادلات حرکت حاصله، ماتریس جرمی به شکل زیر محاسبه می‌گردد:

$$M(1,1) = m_0 + m_{arm}, \quad M(1,2) = 0$$

$$M(1,3) = -m_{arm} \frac{L}{2} \sin(\psi + \theta + \theta_0)$$

$$M(1,4) = -m_{arm} \frac{L}{2} \sin(\psi + \theta + \theta_0)$$

$$M(2,1) = 0, \quad M(2,2) = m_0 + m_{arm}$$

$$M(2,3) = m_{arm} \frac{L}{2} \cos(\psi + \theta + \theta_0)$$

$$M(2,4) = m_{arm} \frac{L}{2} \cos(\psi + \theta + \theta_0)$$

$$M(3,1) = -m_{arm} \frac{L}{2} \sin(\psi + \theta + \theta_0)$$

$$M(3,2) = m_{arm} \frac{L}{2} \cos(\psi + \theta + \theta_0)$$

$$M(3,3) = m_{arm} \left(\frac{L}{2}\right)^2 + J_0 + J_{arm}$$

$$M(3,4) = m_{arm} \left(\frac{L}{2}\right)^2 + J_{arm}$$

$$M(4,1) = -m_{arm} \frac{L}{2} \sin(\psi + \theta + \theta_0)$$

$$M(4,2) = m_{arm} \frac{L}{2} \cos(\psi + \theta + \theta_0)$$

$$M(4,3) = m_{arm} \left(\frac{L}{2}\right)^2 + J_{arm}$$

$$M(4,4) = m_{arm} \left(\frac{L}{2}\right)^2 + J_{arm} \quad (21)$$

همچنین بردارهای جملات غیرخطی و نقلی نیز از روابط زیر قابل محاسبه هستند:

$$\begin{aligned} C(1) &= -m_{arm} \frac{L}{2} (\dot{\psi} + \dot{\theta})^2 \cos(\psi + \theta + \theta_0) \\ C(2) &= -m_{arm} \frac{L}{2} (\dot{\psi} + \dot{\theta})^2 \sin(\psi + \theta + \theta_0) \\ &\quad - K_F \left(Z_0 - Z - \frac{L_0}{2} \sin(\theta_0 + \theta) \right) \\ &\quad - K_R \left(Z_0 - Z + \frac{L_0}{2} \sin(\theta_0 + \theta) \right) \\ C(3) &= -K_F \left(Z_0 - Z - \frac{L_0}{2} \sin(\theta_0 + \theta) \right) \frac{L_0}{2} \cos(\theta + \theta_0) \\ &\quad + K_R \left(Z_0 - Z + \frac{L_0}{2} \sin(\theta_0 + \theta) \right) \frac{L_0}{2} \cos(\theta + \theta_0) \\ C(4) &= 0 \quad (22) \end{aligned}$$

$$G = \begin{cases} 0 \\ (m_0 + m_{arm})g \\ m_{arm} g \frac{L}{2} \cos(\psi + \theta + \theta_0) \\ m_{arm} g \frac{L}{2} \cos(\psi + \theta + \theta_0) \end{cases} \quad (23)$$

در بردار نیروها و گشتاورها در فضای مفاسل، معادله (20)، مؤلفه‌های F_T و مقداری هستند که با توجه به مقدار نیروی اصطکاک بین چرخ و زمین تعیین می‌گردند. در ادامه برای تکمیل معادلات حرکت اثرات دینامیک

ژاکوبین بین متغیرهای فضای کاری و مفاسل تعیین شود. به این منظور متغیرهای فضای کاری را چنین تعریف می‌کنیم:

$$X = \begin{cases} X_p \\ \theta \\ z_{arm} \end{cases} \quad (9)$$

و متغیرهای فضای مفاسل عبارت‌اند از:

$$q = \begin{cases} X_p \\ Z_p \\ \theta \\ \psi \end{cases} \quad (10)$$

با مشتق‌گیری نسبت به زمان از معادله (8) و در نظر گرفتن متغیرهای سرعت فضای کاری و فضای مفاسل که در روابط (9) و (10) تعریف شده‌اند، ماتریس ژاکوبین می‌تواند به شکل زیر محاسبه شود:

$$J = \begin{bmatrix} 1 & 0 & 0 & 0 \\ 0 & 0 & 1 & 0 \\ 0 & 1 & L & \frac{L}{2} \cos(\theta + \theta_0 + \psi) \\ 0 & 0 & \frac{L}{2} \cos(\theta + \theta_0 + \psi) & \frac{L}{2} \cos(\theta + \theta_0 + \psi) \end{bmatrix} \quad (11)$$

همچنین با دو بار مشتق‌گیری نسبت به زمان از معادله (7) و معادله (8) می‌توان شتاب مرکز جرم بازو را به شکل زیر به دست آورد:

$$\ddot{x}_{arm} = \ddot{X}_p - \frac{L}{2} (\ddot{\psi} + \ddot{\theta}) \sin(\psi + \theta + \theta_0) - \frac{L}{2} (\dot{\psi} + \dot{\theta})^2 \cos(\psi + \theta + \theta_0) \quad (12)$$

$$\ddot{z}_{arm} = \ddot{Z}_p + \frac{L}{2} (\ddot{\psi} + \ddot{\theta}) \cos(\psi + \theta + \theta_0) - \frac{L}{2} (\dot{\psi} + \dot{\theta})^2 \sin(\psi + \theta + \theta_0) \quad (13)$$

با توجه به دیدگاه دالمبر می‌توان معادلات دینامیکی سیستم را در راستاهای x و y به شکل زیر نوشت:

$$\sum F_x = 0 \Rightarrow F_T - m_0 \ddot{X}_p - m_{arm} \ddot{x}_{arm} = 0 \quad (14)$$

$$\sum F_z = 0 \Rightarrow -m_0 \ddot{Z}_p - m_{arm} \ddot{z}_{arm} + F_{SF} + F_{SR} - (m_0 + m_{arm})g = 0 \quad (15)$$

F_T نیروی رانش است که تأمین کننده آن نیروی اصطکاک می‌باشد. سومین معادله از نوشتن معادله گشتاور حول نقطه‌ی A برای بازو به دست می‌آید:

$$\begin{aligned} \sum M_A = 0 &\Rightarrow \tau_{arm} - m_{arm} g \frac{L}{2} \cos(\theta_0 + \theta + \psi) \\ &\quad + m_{arm} \ddot{x}_{arm} \frac{L}{2} \sin(\theta_0 + \theta + \psi) \\ &\quad - m_{arm} \ddot{z}_{arm} \frac{L}{2} \cos(\theta_0 + \theta + \psi) \ddot{z}_{arm} \\ &\quad - J_{arm} (\ddot{\theta} + \ddot{\psi}) = 0 \quad (16) \end{aligned}$$

برای دست‌یابی به معادله چهارم حرکت می‌توان معادله گشتاور را حول مرکز جرم پلترم به صورت زیر نوشت:

$$\begin{aligned} \sum M_A = 0 &\Rightarrow -\tau_{arm} + F_{Sus_F} \frac{L_0}{2} \cos(\theta_0 + \theta) \\ &\quad - F_{Sus_R} \frac{L_0}{2} \cos(\theta_0 + \theta) - J_0 \ddot{\theta} + M_T = 0 \quad (17) \end{aligned}$$

معرف گشتاورهای ناشی از اصطکاک می‌باشد که نحوه محاسبه آن تشریح خواهد شد. با جایگذاری مقدادیر بردار شتاب مرکز جرم بازو از معادله (12) و معادله (13) در چهار معادله فوق و همچنین جایگذاری مقدار گشتاور τ از معادله (16) در معادله (17)، معادلات حرکت سیستم بدون در نظر گرفتن تأثیرات چرخ‌ها به شکل زیر قابل‌بیان است:

با جایگذاری معادله (33) در معادله (30) و معادله (31) مقادیر نیروهای مورد نیاز در معادله (28) به شکل زیر تعیین می‌شود:

$$\begin{aligned} F_{Fx} &= F_{T_F} - m_{W_F} \left(\ddot{X}_p - \frac{L_0}{2} \dot{\theta}^2 \cos(\theta_0 + \theta) - \frac{L_0}{2} \dot{\theta} \sin(\theta_0 + \theta) \right) \\ F_{Rx} &= F_{T_R} - m_{W_R} \left(\ddot{X}_p + \frac{L_0}{2} \dot{\theta}^2 \cos(\theta_0 + \theta) + \frac{L_0}{2} \dot{\theta} \sin(\theta_0 + \theta) \right) \end{aligned} \quad (34)$$

بنابراین با معلوم بودن نیروهای اصطکاک چرخ‌های جلو و عقب می‌توان از معادله (28) مقدار F_T و M_T را تعیین نمود. همچنین از سومین معادله از سری معادلات (30) می‌توان معادلات دینامیکی دوران چرخ‌ها را به شکل زیر تعیین نمود:

$$T_R = F_{T_R} R_R + J_{W_R} \ddot{\phi}_R \quad (35)$$

$$T_F = F_{T_F} R_F + J_{W_F} \ddot{\phi}_F \quad (36)$$

برای محاسبه F_{T_F} و F_{T_R} از معادلات دوگاف بهره می‌گیریم که در ادامه مورداشاره قرار می‌گیرد.

5-2 محاسبه نیروهای اصطکاک از مدل دوگاف

در مدل دینامیکی به دست آمده در بخش 4-2 نیاز به محاسبه نیروی اصطکاک اعمالی به چرخ‌ها وجود دارد. در این بخش، با در نظر گرفتن تأثیرهای نیوماتیکی به تشریح نحوه محاسبه نیروهای اصطکاک با استفاده از مدل دوگاف¹ می‌پردازیم. به علاوه مشخص گردیده است که استفاده از فرض

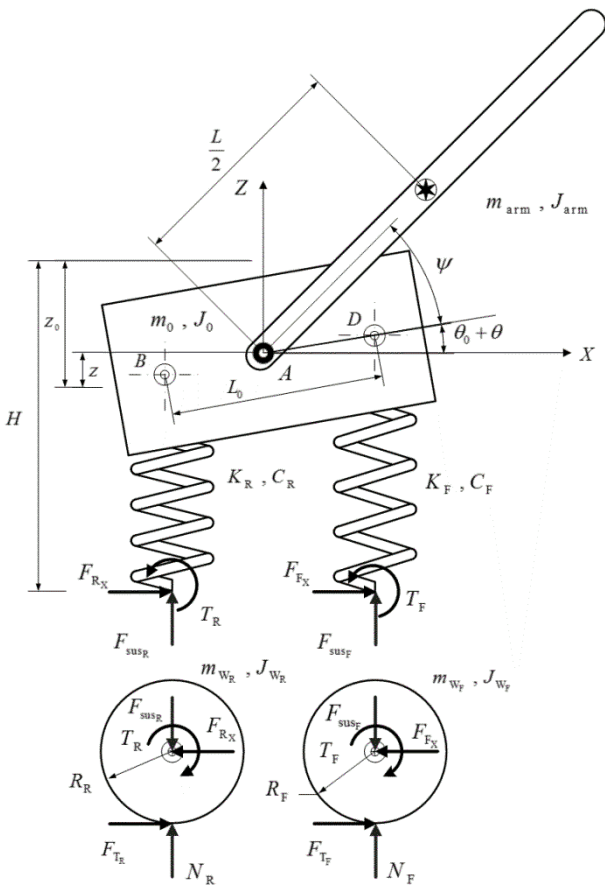


Fig. 4 Free body diagram of Wheeled planar robot with considering the effects of wheels and friction forces

شکل 4 دیاگرام آزاد ربات صفحه‌ای چرخ دار جهت در نظر گرفتن اثرات چرخ‌ها و نیروی اصطکاک

چرخ‌های جلو و عقب و همچنین اثرات گشتاورهای موجود بین سیستم تعیین و چرخ‌ها را به همراه اثرات نیروی اصطکاک در نظر می‌گیریم.

2-4-اضافه کردن معادلات دوچرخ به سامانه بستر پویای صفحه‌ای در معادلات حرکت سیستم (18)، لازم است نیروها و گشتاورهای ناشی از اصطکاک و همچنین اینرسی چرخ‌ها را در نظر بگیریم. در این راستا بر مبنای "شکل 3" می‌توان نیروها و گشتاورهای مربوطه را به شکل زیر محاسبه نمود:

$$F_T = F_{Rx} + F_{Fx} \quad (24)$$

بردار موقعیت نیروهای واردہ از محور چرخ‌های عقب و جلو را می‌توان به شکل زیر نشان داد:

$$\vec{r}_R = -\left(\frac{L_0}{2} \cos(\theta + \theta_0)\right) \hat{i} - \left(H_1 - Z_0 + Z - \frac{L_0}{2} \sin(\theta + \theta_0)\right) \hat{j} \quad (25)$$

$$\vec{r}_F = \left(\frac{L_0}{2} \cos(\theta + \theta_0)\right) \hat{i} - \left(H_1 - Z_0 + Z + \frac{L_0}{2} \sin(\theta + \theta_0)\right) \hat{j} \quad (26)$$

با بهره گیری از دیاگرام آزاد "شکل 3" می‌توان اثرات گشتاوری نیروهای اعمالی به محور دو چرخ را حول مرکز جرم پلتفرم محاسبه نمود:

$$\begin{aligned} M_T &= \vec{r}_R \times \vec{F}_{Rx} + \vec{r}_F \times \vec{F}_{Fx} \\ &= -F_{Rx} \left(H_1 - Z_0 + Z - \frac{L_0}{2} \sin(\theta + \theta_0)\right) \\ &\quad - F_{Fx} \left(H_1 - Z_0 + Z + \frac{L_0}{2} \sin(\theta + \theta_0)\right) \end{aligned} \quad (27)$$

می‌توان با معادله (24) و معادله (27)، دستگاه معادلات زیر را تشکیل داد:

$$\begin{bmatrix} 1 & 1 \\ \alpha_1 & \alpha_2 \end{bmatrix} \begin{Bmatrix} F_{Rx} \\ F_{Fx} \end{Bmatrix} = \begin{Bmatrix} F_T \\ M_T \end{Bmatrix} \quad (28)$$

که در آن:

$$\begin{aligned} \alpha_1 &= -\left(H - Z_0 + Z - \frac{L_0}{2} \sin(\theta + \theta_0)\right) \\ \alpha_2 &= -\left(H - Z_0 + Z + \frac{L_0}{2} \sin(\theta + \theta_0)\right) \end{aligned} \quad (29)$$

بنابراین برای تعیین F_T و M_T کافی است مقدار F_{Tx} و F_{Rx} تعیین شوند. به این منظور معادلات چرخ‌های جلو و عقب نشان داده شده در "شکل 4" را به صورت زیر می‌توان نوشت:

$$\begin{cases} -F_{Rx} + F_{T_R} - m_{W_R} \ddot{X}_R = 0 \\ N_R - F_{Ry} = 0 \end{cases} \quad (30)$$

$$\begin{cases} T_R - F_{T_R} R_R - J_{W_R} \ddot{\phi}_R = 0 \\ -F_{Fx} + F_{T_F} - m_{W_F} \ddot{X}_F = 0 \\ N_R - F_{Ry} = 0 \end{cases} \quad (31)$$

در معادله (30) و معادله (31) لازم است شتاب مرکزهای چرخ‌های چپ و راست را از روابط زیر بر حسب متغیرهای سامانه تعیین کنیم:

$$\begin{aligned} X_F &= X_p + \frac{L_0}{2} \cos(\theta_0 + \theta) \\ X_R &= X_p - \frac{L_0}{2} \cos(\theta_0 + \theta) \end{aligned} \quad (32)$$

با دو بار مشتق گیری از این معادلات به دست می‌آید:

$$\ddot{X}_F = \ddot{X}_p - \frac{L_0}{2} \dot{\theta}^2 \cos(\theta_0 + \theta) - \frac{L_0}{2} \dot{\theta} \sin(\theta_0 + \theta) \quad (33)$$

$$\ddot{X}_R = \ddot{X}_p + \frac{L_0}{2} \dot{\theta}^2 \cos(\theta_0 + \theta) + \frac{L_0}{2} \dot{\theta} \sin(\theta_0 + \theta) \quad (33)$$

¹Dugoff

$$f_i = \begin{cases} 1 & ; F_{R_i} \leq \frac{\mu_i F_{Z_i}}{2} \\ \left(2 - \frac{\mu_i F_{Z_i}}{2F_{R_i}}\right) \frac{\mu_i F_{Z_i}}{2F_{R_i}} & ; F_{R_i} > \frac{\mu_i F_{Z_i}}{2} \end{cases} \quad (41)$$

$$F_{R_i} = \sqrt{(C_{x_i} s_i)^2 + (C_{y_i} \beta_i)^2}, \quad (i = 1, \dots, 4) \quad (42)$$

در روابط فوق، F_{Z_i} مبین نیروی عمودی اعمالی به تایر است که تابع وزن ربات، نیروهای اعمالی از سوی بازوها به پایه و انتقال بار دینامیکی ناشی از شتابهای طولی و عرضی می‌باشد. μ_i ضریب اصطکاک لغزشی و C_{x_i} و C_{y_i} مبین سختی تایر در جهت‌های به ترتیب طولی و عرضی می‌باشد. با در نظر گرفتن معادلات (41,40)، نیروهای پیشوان اعمالی به بدن‌هی پایه در

جهت‌های طولی و عرضی، می‌توانند به صورت زیر نوشته شوند:

$$F_T = X_1 + X_2 + X_3 + X_4 \quad (43-a)$$

$$F_l = Y_1 + Y_2 + Y_3 + Y_4 \quad (43-b)$$

که در آن‌ها:

$$X_i = F_{x_i} \cos \delta_i - F_{y_i} \sin \delta_i \quad (44-a)$$

$$Y_i = F_{x_i} \sin \delta_i + F_{y_i} \cos \delta_i \quad (44-b)$$

یادآوری می‌شود که مدل تایر دوگاف، یک مدل سه پارامتری است که بر اساس محاسبه‌ی لغزش‌های طولی و عرضی، نیروهای طولی و عرضی را که در محل تماس چرخ‌ها با زمین ایجاد می‌گردند، بدست می‌دهد. در مدل صفحه‌ای به دست آمده در این بخش بدیهی است که از اثرات لغزش عرضی چشم پوشی شده و زاویه فرمان ثابت در نظر گرفته می‌شود.

معادله (18) رفتار دینامیکی روبات چرخ دار را ارائه می‌دهد که در آن اثرات دینامیک چرخ‌ها و بارو و همچنین نیروی اصطکاک دیده شده است. نحوه تعیین فرامین کنترلی \tilde{Q}_m نیز در بخش 3 به تفصیل تشریح می‌شود. برای حل عددی این معادلات در نرمافزار متلب¹، ابتدا معادلات را به فرم معادلات حالت (معادلات دیفرانسیل مرتبه اول) تبدیل نموده، سپس با استفاده از روش عددی رانج-کوتا² مرتبه 4، معادلات را حل و نتایج به دست آمده را مورد بررسی قرار می‌دهیم.

3- کنترل بازوی متحرک چرخ دار برای حرکت صفحه‌ای

کنترل گر اولیه مدل مبنای مور داستفاده جهت کنترل ربات چرخ دار دارای لغزش در این مقاله را کنترل امپدانس چندگانه³ انتخاب کرده‌ایم. علت این انتخاب قابلیت منعطف این الگوریتم کنترلی برای ربات‌های پایه ثابت و متحرک و حتی در صورت نیاز جسم جابجا شونده می‌باشد. همان‌طور که می‌دانید در سامانه‌های چرخ دار و رودی‌های کنترلی پلتفرم همان گشتاورهای اعمالی به چرخ‌های عقب و جلو می‌باشند. درنتیجه تعداد درجات آزادی پلتفرم از عملگرهای آن بیشتر است. در اینجا ما در صدد کنترل جابجایی پلتفرم در جهت x و هم دوران آن حول محور عمود بر صفحه و هم کنترل ارتفاع مرکز جرم بازو با تنظیم نیروهای اصطکاک چرخ‌های جلو و عقب و گشتاور محرك بازوی سیستم هستیم. در این راستا با توجه به غیرفعال بودن جابجایی شاسی در راستای قائم، ابتدا به اصلاح فرمولاسیون کنترلی MIC می‌پردازیم.

1-3- تعمیم قانون MIC در صورت غیرفعال بودن تعدادی از عملگرها

در قانون امپدانس چندگانه همان‌طور که در [26] نیز قابل مشاهده است،

قید غیرهولونومیک محدود به زمانی است که وزن سیستم کم بوده و سرعت و شتاب قابل ملاحظه‌ای نداشته باشد [21]؛ از این‌رو مدل‌سازی سیستم در حالتی که لغزش تایرها نیز مدل می‌شود، کاملاً مناسبت دارد. شکل 5 تصویر از بالای پلتفرم را در حالت کلی نشان می‌دهد.

زاویه‌ی لغزش جانبی عبارت است از، زاویه‌ای که امتداد بردار سرعت مرکز جرم تایر با صفحه‌ی طولی تایر می‌سازد. بنابراین با داشتن مؤلفه‌ی عرضی سرعت تایر v_{iy} ، v_{ix} ، و مؤلفه‌ی طولی آن، v_{ix} ، زاویه‌ی لغزش جانبی به صورت زیر تعریف می‌شود:

$$\beta_i = \tan^{-1}\left(\frac{v_{iy}}{v_{ix}}\right) - \delta_i \quad ; i = 1, \dots, 4 \quad (37)$$

که در رابطه‌ی بالا، δ_i مبین زاویه‌ی فرمان تایر است. چنانچه مؤلفه‌های طولی و عرضی بردار سرعت تایر را با سرعت نقطه‌ی مرتع C_0 جایگزین نماییم، در این صورت زاویه‌ی لغزش جانبی برای تایرها مختلف به صورت زیر بدست می‌آید:

$$\beta_1 = \tan^{-1}\left(\frac{-\dot{X}_p s\varphi + \dot{Y}_p c\varphi + L_F \dot{\varphi}}{\dot{X}_p c\varphi + \dot{Y}_p s\varphi + W_R \dot{\varphi}}\right) - \delta_1 \quad (38-a)$$

$$\beta_2 = \tan^{-1}\left(\frac{-\dot{X}_p s\varphi + \dot{Y}_p c\varphi + L_F \dot{\varphi}}{\dot{X}_p c\varphi + \dot{Y}_p s\varphi - W_L \dot{\varphi}}\right) - \delta_2 \quad (38-b)$$

$$\beta_3 = \tan^{-1}\left(\frac{-\dot{X}_p s\varphi + \dot{Y}_p c\varphi - L_B \dot{\varphi}}{\dot{X}_p c\varphi + \dot{Y}_p s\varphi + W_R \dot{\varphi}}\right) - \delta_3 \quad (38-c)$$

$$\beta_4 = \tan^{-1}\left(\frac{-\dot{X}_p s\varphi + \dot{Y}_p c\varphi - L_B \dot{\varphi}}{\dot{X}_p c\varphi + \dot{Y}_p s\varphi - W_L \dot{\varphi}}\right) - \delta_4 \quad (38-d)$$

که در روابط فوق، φ زاویه‌ی یا و پلتفرم بوده و برای حرکت طولی ربات $= 0$ در نظر گرفته می‌شود. نسبت لغزش طولی تایر، s_i ، نیز به صورت زیر تعریف می‌شود:

$$s_i = \frac{V_i - R_e \omega_i}{V_i} \quad ; R_e \omega_i < V_i \quad (39-a)$$

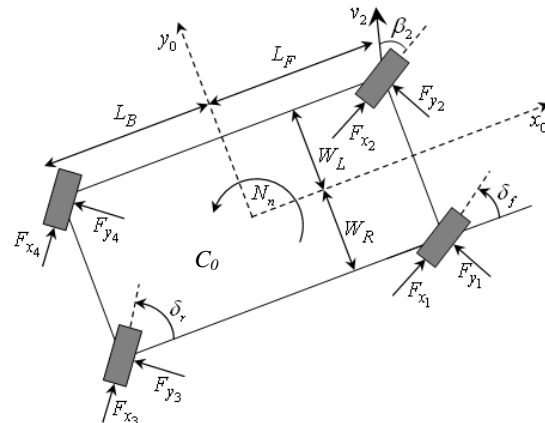
$$s_i = \frac{V_i - R_e \omega_i}{R_e \omega_i} \quad ; R_e \omega_i \geq V_i \quad (39-b)$$

که در این رابطه، R_e مبین شاعر مؤثر تایر بوده، $[25]$ سرعت زاویه‌ی تایر ω_i و V_i مبین مؤلفه‌ی سرعت خطی مرکز آن است، که به موازات صفحه‌ی تایر می‌باشد. نیروهای تایرها می‌توانند با استفاده از مدل ساده‌شده‌ی زیر بدست آیند [25]:

$$F_{x_i} = -f_i C_{x_i} s_i \quad (40-a)$$

$$F_{y_i} = -f_i C_{y_i} \beta_i \quad (40-b)$$

که در این روابط:



شکل 5 تصویر از بالای پایه با در نظر گرفتن نیروهای اعمالی به تایرها

$$\tilde{H}_{\text{final}} = (\Gamma J^T)^{-1} (\Gamma H) J^\# \quad (56)$$

$$\begin{aligned} \tilde{C}_{\text{final}} &= (\Gamma J^T)^{-1} \Gamma C - (\Gamma H)^{-1} (\Gamma H) J^\# j \dot{q} \\ &= (\Gamma J^T)^{-1} \Gamma C - \tilde{H}_{\text{final}} j \dot{q} \end{aligned} \quad (57)$$

$$\tilde{G}_{\text{final}} = (\Gamma J^T)^{-1} \Gamma G \quad (58)$$

برای قانون کنترلی در فضای دکارتی می‌توان نوشت:

$$\tilde{Q}_m = \tilde{H}_{\text{final}} M_{\text{des}}^{-1} (M_{\text{des}} \ddot{\tilde{X}}_d + K_d \dot{\tilde{e}} + K_p \tilde{e}) + \tilde{C}_{\text{final}} + \tilde{G}_{\text{final}} \quad (59)$$

که در رابطه‌ی فوق، \tilde{X}_d میان مسیر حرکت زمانی مطلوب متغیرهای خروجی می‌باشد. همچنین $\tilde{X} - \tilde{X}_d = \tilde{e}$ بوده و بینگر خطای دیجیتی K_d ، M_{des} و K_p ماتریس‌های بهره‌ی مربعي قطری مثبت معین می‌باشد.

با جایگزینی معادله (59) در سمت راست رابطه‌ی (55)، می‌توان به رابطه‌ی ذیل رسید.

$$M_{\text{des}} \ddot{\tilde{e}} + K_d \dot{\tilde{e}} + K_p \tilde{e} = 0 \quad (60)$$

با در نظر گرفتن مقادیر مناسبی برای ماتریس‌های M_d ، K_d و K_p می‌توان هر خط را به صورت نمایی به سمت صفر میل داد.

خطارنشان می‌شود که قانون کنترلی ارایه شده برای حالتی درست است که ربات با محیط تعاملی نداشته یا باری را جابجا نکند. چنانچه ربات به محیط نیرویی را بخواهد اعمال نماید یا باری را جابجا کند، لازم است ترمیجهت جبران این نیرویی مورد نیاز به نام \tilde{Q}_m به اضافه گردد [26].

3-2- قانون کنترلی با استراتژی دو درجه‌ی آزادی روبات چرخ دار صفحه‌ای

همچنان که در "شکل 6" مشاهده می‌شود، استراتژی کنترل حرکت ربات، یک استراتژی دو درجه‌ی آزادی می‌باشد. در بخش نخست، با استفاده از الگوریتم کنترل امپدانس چندگانه اصلاح شده می‌توانیم نیروی تعیین یافته مطلوب در امتداد محور X (F_X)، گشتاور کنترل زاویه‌ی پیچ مطلوب پلتفرم (τ_θ) و نیز گشتاور مطلوب اعمالی به مفصل بازو (τ_{arm}) را استخراج نماییم. سپس F_X و τ_θ به عنوان ورودی به کنترل گر دوم (که کنترل گر موضعی نامیده شده است) وارد می‌شوند تا در آن با استفاده از این ورودی‌ها، گشتاور هر یک از چرخ‌ها محاسبه گردد.

ساختر کنترل گر موضعی به این صورت است که ابتدا به کمک معادله (28) نیروهای مطلوب پیش‌ران بین چرخ‌ها با زمین (F_f^{des} و F_r^{des}) استخراج می‌گردد.

$$\begin{bmatrix} F_f^{\text{des}} \\ F_r^{\text{des}} \end{bmatrix} = B^{-1} \begin{bmatrix} F_X \\ \tau_\theta \end{bmatrix} \quad (61-a)$$

$$B = \begin{bmatrix} 1 & 1 \\ \alpha_1 & \alpha_2 \end{bmatrix} \quad (61-b)$$

هدف آن است که گشتاور اعمالی به چرخ‌ها (T_f و T_r) به گونه‌ای باشد که

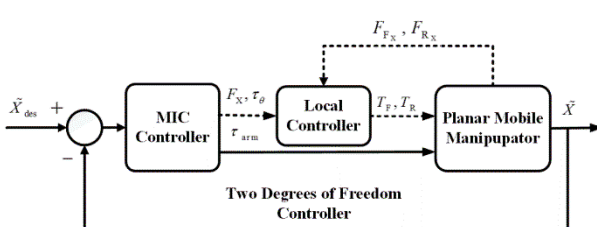


Fig. 6 The general architecture of the proposed controller
شکل 6 دیاگرام کلی معماری کنترل گر پیشنهادی

فرامین کنترلی به تمامی مفاسی سامانه فضایی با پایه متحرک اعمال می‌گردد در صورتی که ممکن است تعدادی از آن‌ها غیرفعال باشند که در این صورت امکان اعمال نیروها یا گشتاورهای موردنیاز را نخواهند داشت. در این راستا در صدد اصلاح این موضوع در فرمولاسیون کلی MIC هستیم. به این منظور تعیین گردد که در این راستا ماتریس Γ را مابین فضای مفاسی و فضای عملگرها به شکل زیر تعریف می‌کنیم:

$$\dot{q}_{\text{act}} = \Gamma \dot{q} \quad (45)$$

که در رابطه فوق \dot{q} بردار فضای مفاسی با بعد $n \times 1$ و \dot{q}_{act} بردار مفاسی $m \times 1$ می‌باشد که $m < n$. ماتریس Γ ماتریسی $n \times m$ است که ستون‌های متناظر با مفاسی غیرفعال در آن برابر صفر در نظر گرفته می‌شود. تعداد متغیرهای فضای وظیفه با تعداد مفاسی فعال (دارای عملگر) یکسان در نظر گرفته می‌شود. بنابراین ماتریس Γ کوپین تعیین شده بین متغیرهای فضای مفاسی و فضای وظیفه، یک ماتریس غیر مربع با بعد $m \times n$ خواهد بود که در شبیه سازی انجام پذیرفتہ در این مقاله، $n = 4$ و $m = 3$ در نظر گرفته شده است.

$$\dot{\tilde{X}} = J \dot{q} \quad (46)$$

بنابراین ارتباط بین نیروها/گشتاورهای عملگرها در فضای مفاسی و فضای وظیفه را به شکل زیر برقرار نمود:

$$Q_{\text{m act}}^T \dot{q}_{\text{act}} = \tilde{Q}_m^T \dot{\tilde{X}} \quad (47)$$

لازم به ذکر است که در صورت وجود اجزای منعطف در سیستم، از اثرات کار نیروهای داخلی این المان‌ها، با فرض جابجایی‌های کوچک دو سر المان چشم‌پوشی می‌شود. با جایگذاری معادلات (46) و (45) در معادله (47) به دست می‌آید:

$$Q_{\text{m act}}^T \Gamma = \tilde{Q}_m^T J \quad (48)$$

با گرفتن ترانهاده رابطه (48) و ضرب طرفین معادله در معکوس Γ^T به دست می‌آید:

$$Q_{\text{m act}} = \Gamma J^T \tilde{Q}_m \quad (49)$$

لازم به ذکر است که

$$\Gamma \Gamma^T = I_m \quad (50)$$

معادله حرکت سامانه‌ی پایه متحرک با در نظر گرفتن جملات ثقلی در فضای مفاسی به شکل زیر قابل بیان است:

$$H \ddot{q} + C + G = J^T \tilde{Q}_m \quad (51)$$

با مشتق گیری از معادله (46) مقدار \ddot{q} به دست می‌آید:

$$\ddot{q} = J^\# (\dot{\tilde{X}} - j \dot{q}) \quad (52)$$

لازم به ذکر است با توجه به غیر مربع بودن ماتریس Γ ، معکوس آن از رابطه معکوس مجازی به شکل زیر تعیین می‌شود:

$$J^\# = J^T (J J^T)^{-1} \quad (53)$$

با جایگذاری معادله (52) در (51) و ضرب طرفین معادله در Γ به دست می‌آید:

$$G [H J^\# (\dot{\tilde{X}} - j \dot{q}) + C + G] = \Gamma J^T \tilde{Q}_m \quad (54)$$

با پیش‌ضرب معادله (54) در $(\Gamma J^T)^{-1}$ ، معادله حرکت در فضای دکارتی به صورت زیر به دست می‌آید:

$$\tilde{H}_{\text{final}} \ddot{\tilde{X}} + \tilde{C}_{\text{final}} + \tilde{G}_{\text{final}} = \tilde{Q}_m \quad (55)$$

که در آن:

با استفاده از رابطه‌ی (55) می‌توان نتیجه گرفت که:

$$M_{\text{des}} \ddot{X} = M_{\text{des}} \tilde{H}_{\text{final}}^{-1} (\tilde{Q}_m - \tilde{C}_{\text{final}}) \quad (65)$$

با جایگزینی رابطه‌ی (59) در رابطه‌ی (65) و قراردادن نتیجه در معادله‌ی

(63) به دست می‌دهد:

$$\dot{V}(\ddot{e}, \dot{\ddot{e}}) = -\frac{1}{2} \dot{\ddot{e}}^T K_d \ddot{e} \quad (66)$$

رابطه‌ی (66) بیانگر یکتابع نیمه معین منفی است. علیرغم این مطلب براساس قصیه‌ی لاسل^۴ به سادگی می‌توان نتیجه گرفت که نقطه‌ی تعادل سیستم $= 0$ ($\ddot{e} = \dot{\ddot{e}}$) پایدار مجانی است. بنابراین الگوریتم پیشنهادی امپدانس اصلاح یافته در صورت فراهم آمدن نیروهای مطلوب رانش F_{R_X} و F_{F_X} قانون امپدانسی می‌تواند به صورت فرآگیر هر خطای موقعیت در حوزه‌ی کاری را به صفر برساند. از سوی دیگر همچنان که ذیلاً نشان داده می‌شود، با استفاده از الگوریتم کنترل صریح نیرو و با انتخاب بهره‌های بزرگ می‌توان به سرعت، مقادیر نیروی مورد نظر رانشی را در چرخ‌ها ایجاد نمود. برای این منظور، در روابط دینامیک دورانی چرخها، یعنی روابط (35) و (36)، گشتاور چرخها را از رویکرد پیشنهادی در "شکل 7" جایگزین می‌نماییم، درین:

$$K_F(F_r^{\text{des}} - F_{T_R}) - F_{T_R} R_R - J_{W_R} \ddot{\phi}_R = 0 \quad (67)$$

چنانچه از ترم شامل اینرسی چرخ بتوان در مقابل سایر ترمها چشم‌پوشی نمود در این صورت از رابطه‌ی بالا می‌توان نتیجه گرفت:

$$F_{T_R} = \frac{K_F}{K_F + 1} F_r^{\text{des}} \quad (68)$$

چنانچه $1 \gg K_F$ در نظر گرفته شود می‌توان نتیجه گرفت که

$$F_{T_R} \cong F_r^{\text{des}}$$

4- شبیه‌سازی عملکرد کنترل کننده دو درجه آزادی بر سامانه صفحه‌ای چرخ دار یک بازویی

در اینجا می‌خواهیم رفتار یک ربات چرخ دار مجهز به سیستم تعیین منعطف که دارای یک بازوی یک درجه‌ی آزادی از نوع دورانی می‌باشد را بررسی نماییم. برای این منظور، سیستمی مشابه "شکل 2" در نظر گرفته که مشخصات هندسی/جرمی و دینامیکی آن در "جدول 1" ذکر گردیده است. لازم به ذکر است که اختصاص چنین پارامترهایی برای سیستم تعیین خیز استاتیکی در حدود چهار سانتی‌متر و میرایی کمتر از میرایی بحرانی را باعث می‌گردد.

در "شکل 8"، "شکل 9" و "شکل 10"، مسیرهای مطلوب و واقعی حرکت سیستم نشان داده شده‌اند. در این شبیه‌سازی‌ها، متغیرهای خروجی و

جدول 1 پارامترهای هندسی جرمی بازوی رباتیک چرخ دار

Table 1 The mass and geometric parameters of the wheeled explorer

واحدها	مقادیر	پارامترهای شبیه‌سازی
kg	600	m_0
m	2	L_0
m	0.6	H_1
kg	20	m_{arm}
m	1	L
N/m	28700	$K_f = K_r$
Ns/m	2870	$C_f = C_r$
m	0.1	R_F
m	0.3	R_R
kgm^2	20	J_0
kg	10	m_w
-	0.9	μ_k
m/s^2	3.71	g_{mars}

⁴ La Salle's Principle

نیروی ایجادشده بین چرخ‌ها و سیستم تعیین با زمین (F_{F_X} و F_{R_X}) برابر با مقادیر مطلوب آن‌ها گردد. از این‌رو، کنترل‌گر موضعی درواقع یک کنترل‌گر صریح نیرو^۱ می‌باشد.

دیگر اگر کنترل صریح نیروی رانش چرخ‌های جلو و عقب، در "شکل 7" ارائه گردیده است. جهت کنترل نیروهای رانش دو چرخ از یک کنترل‌گر تناسبی^۲، استفاده گردیده است. این کنترل‌گر به تنظیم گشتاورهای اعمالی به دو چرخ، مقدار نیروی اصطکاک اعمالی از زمین به چرخ‌ها را به‌گونه‌ای تنظیم می‌کند که نیرو و گشتاور موردنیاز جهت کنترل طولی و دورانی پلتفرم مطابق خواسته کنترل‌گر اولیه، MIC، حاصل شود. از مزایای بسیار جالبی که الگوریتم پیشنهادی دارد، عدم وابستگی به مدل بسیار پیچیده در بخش کنترل موضعی نیروست که این به‌بنویه خود منجر به افزایش قوام کنترل‌گر پیشنهادی در مقابل عدم قطعیت‌های پارامتری و ساختاری‌افته خواهد گردید.

بدیهی است که در ساختار کنترل‌گر دو درجه آزادی پیشنهاد شده جهت کارهای پیاده‌سازی، وجود یک مجموعه حسگر/تخمین‌گر برای محاسبه نیروهای اصطکاک و رانش دو چرخ ضروری می‌باشد. به عنوان نمونه در معادلات (35) و (36) با دانستن ستایش زاویه‌ای چرخ‌ها و گشتاور اعمالی به چرخ‌ها مقدار نیروی اصطکاک رانشی قابل تخمین است. در زمینه تخمین نیروی اصطکاک، پژوهش‌های متنوعی صورت گرفته است، [28,27]، که از رویکردهای مشابه پیشنهاد شده می‌توان استفاده نمود.

همچنین لازم به ذکر است که در فضای مفاصل سیستم صفحه‌ای، Z دارای چهار متغیر مستقل می‌باشد که عملاً حرکت پلتفرم در جهت غیرفعال است. در این راستا، برای صدور فرمان کنترلی، از قانون کنترلی امپدانس چندگانه اصلاح شده که به تفصیل فرمولاسیون آن بخش 1-3 استخراج شده است، بهره خواهیم گرفت و در ادامه با اعمال قانون کنترل ارائه شده در بخش 2-3 2-3 متغیرهای فضای کاری را به شکل کامل کنترل خواهیم کرد.

3- تحلیل پایداری کننده‌ی پیشنهادی

برای بررسی پایداری قانون امپدانسی اصلاح شده از روش مستقیم لیاپانوف استفاده می‌کنیم. در این راستا، تابع اسکالار مربعی^۳ ذیل را در نظر می‌گیریم.

$$V(\ddot{e}, \dot{\ddot{e}}) = \frac{1}{2} \dot{\ddot{e}}^T M_{\text{des}} \ddot{e} + \frac{1}{2} \ddot{e}^T K_p \ddot{e} \quad (62)$$

با مشتق‌گیری از رابطه‌ی (62) نسبت به زمان داریم:

$$\dot{V}(\ddot{e}, \dot{\ddot{e}}) = \dot{\ddot{e}}^T M_{\text{des}} \ddot{e} + \dot{\ddot{e}}^T K_p \ddot{e} \quad (63)$$

رابطه‌ی بالا را می‌توان به شکل ذیل نوشت:

$$\dot{V}(\ddot{e}, \dot{\ddot{e}}) = \dot{\ddot{e}}^T (M_{\text{des}} \ddot{X}_d - M_{\text{des}} \ddot{X} + K_p \ddot{e}) \quad (64)$$

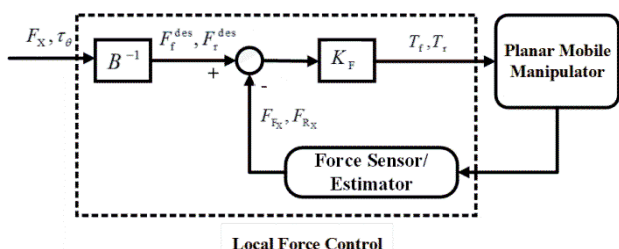


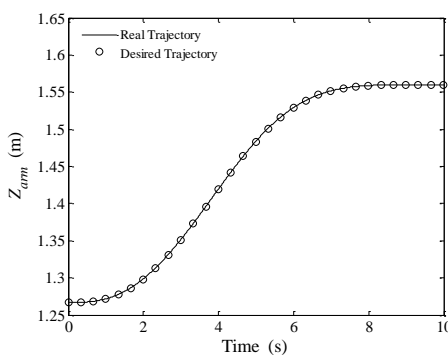
Fig. 7 Explicit force control for tuning of the torques applied on the wheels

شکل 7 کنترل صریح نیرو جهت تنظیم گشتاورهای موردنیاز اعمالی به چرخ‌ها

¹ Explicit Force Control

² P_action

³ quadratic



شکل 10 مسیر حرکت زمانی حرکت مجری نهایی در امتداد قائم

مانور طولی ربات گفته شد، به مانور حرکت کلی آن تعمیم داده می‌شود را به صورت اجمالی مورد بررسی قرار دهیم. با توجه به محدودیت فضای تهیه به صورت فشرده به اهم مطالب پرداخته خواهد شد و از بیان بسیاری از جزئیات چشم پوشی می‌شود. در این راستا، ابتدا لازم است توجه کنیم که در این حالت، دیاگرام آزاد پایه ربات به صورت نشان داده شده در "شکل 13" می‌باشد. توجه داشته باشیم که در این دیاگرام نیروهای f_T و f_I می‌باشد. همچنان که در این دیاگرام نیروهای f_{BL} و f_{BR} می‌باشند که در اثر اندرکش چرخ با زمین به وجود آمداند و براساس روابط (43) به دست زمین هستند که به بدنه پایه اعمال می‌شوند. بیانگر نیروهایی هستند که از طرف تعليق به بدنه پایه اعمال می‌شوند؛ به علاوه، N_n بیانگر کوپل است که زاویه یاو پایه را تنظیم می‌نماید و به صورت مشابه با کوپل‌های قبلی از گشتاور نیروهای تعاملی چرخها با زمین نشأت می‌گیرد. توجه داشته باشیم که در این دیاگرام، رنج اعمالی از سوی بازوی انتقالی به بدنه پایه نیز نشان داده شده است. با در نظر گرفتن این دیاگرام آزاد و استفاده از روابط نیوتون-اویلر می‌توانیم معادلات کل حرکت سیستم را استخراج نماییم. خاطرنشان می‌گردد که چنانچه بستر ربات، یک پایه‌ی شامل چهار چرخ باشد که همگی فرمان‌پذیر بوده و دارای نیروی پیشران مجزا و مستقل باشند، در این حالت، پلتفرم دارای هشت ورودی است و زویای رول، پیچ، یا و موقعیت ربات در امتداد محورهای X و Y کنترل پذیر می‌باشند. بنابراین چنانچه حتی کاربر علاقمند به تنظیم زویای رول و پیچ پلتفرم باشد، در این صورت همچنان هشت ورودی داشته و پنج متغیر باید به کمک آنها تنظیم گردد بنابراین با افزونگی در ورودی‌های عملگری مواجه خواهیم بود. اکنون وضعیت را بررسی می‌نماییم که متغیرهای خروجی پلتفرم، موقعیت آن در امتداد محورهای X و Y و نیز زاویه یاو می‌باشد. در این حالت، با استفاده از الگوریتم کنترلی امپدانسی چشم پوشی می‌توان نیروهای f_T ، f_I و کوپل N_n را استخراج نمود. اکنون اگر نیروهای بین چرخها و زمین را به عنوان خروجی در نظر بگیریم می‌توان دید که سه معادله‌ی خطی با هشت مجھول داریم. طبیعتاً حل چنین دستگاه‌هایی پاسخ‌های متعدد دارد و به کمک بهینه‌سازی می‌توان یک پاسخ مناسب به دست آورد.

پس از محاسبه‌ی نیروهای اعمالی به هر چرخ (X_i و Y_i)، "شکل 5" و معادله (44) را ببینید، با کمک کنترل موضعی باید گشتاور اعمالی به هر چرخ و زاویه‌ی فرمان آن را محاسبه نمود. در اینجا تنها حالتی را شرح میدهیم که در آن نیروی طولی اعمالی به

موردنظر به صورت $\tilde{X} = [X \ \theta \ Z_{arm}]^T$ در نظر گرفته شده است. ماتریس‌های بهره در بخش الگوریتم کنترلی امپدانس چندگانه اصلاح شده به صورت $M_{des} = diag(1,1,1)$ و $K_d = diag(20,20,20)$ در نظر گرفته شده است. همچنین ماتریس $K_p = diag(200,200,200)$ بهره کنترلی در بخش کنترل موضعی به صورت $K_F = diag(200,200)$ انتخاب گردیده است.

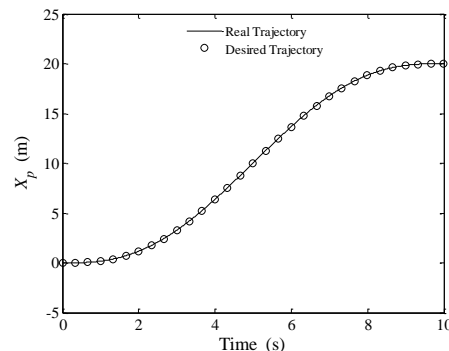
در "شکل 8"، حرکت مرکز جرم پلتفرم در امتداد محور x بر حسب زمان رسم گردیده است. همچنان که مشاهده می‌گردد، پس از گذشت مدت زمان کوتاهی توансه است مسیر موردنظر را تعقیب نماید.

در "شکل 9"، مقادیر مطلوب و واقعی زاویه‌ی فراز پلتفرم رسم گردیده است. همچنان که مشاهده می‌گردد، پس از گذشت مدت زمان کوتاهی سیستم توансه است به مقادیر مطلوب زاویه‌ی فراز دست یابد. این متغیر در پلتفرم از نوع غیرفعال بود که با استفاده از تنظیم نیروی اصطکاک دو چرخ توسط کنترل گر دولایه طراحی شده قابل کنترل گردید. "شکل 10" نحوی تغییرات مختصات مجری نهایی را در امتداد قائم نشان می‌دهد. همچنان که ملاحظه می‌گردد، مجری نهایی پس از گذشت تقریباً یک ثانیه از آغاز حرکت، خط را تقریباً به مقدار صفر رسانده و مسیر موردنظر را به خوبی رهیابی می‌نماید.

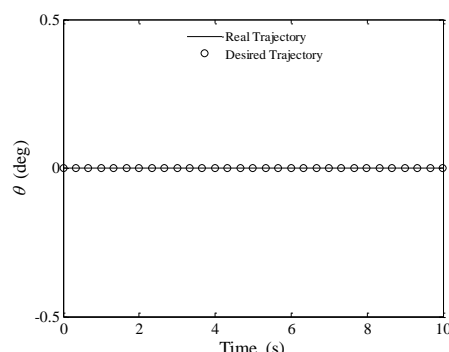
"شکل 11" و "شکل 12" مقادیر ورودی‌های کنترلی چرخ‌های جلو و عقب پلتفرم را بر حسب زمان نشان می‌دهد.

5- تعمیم الگوریتم ارایه شده برای حالت حرکت فضایی

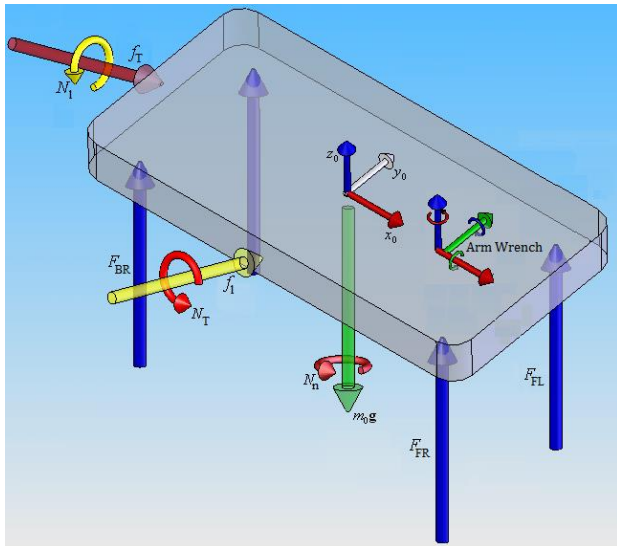
در این بخش برآن هستیم تا اصلاحاتی که مورد نیاز است تا آنچه که در مورد



شکل 8 مسیر حرکت زمانی مرکز جرم پلتفرم در امتداد محور x



شکل 9 مسیر حرکت زمانی زاویه فراز پلتفرم



شکل 13 پیکره آزاد پلتفرم در حرکت سه بعدی

چرخ از نیروی عرضی آن به مراتب بیشتر باشد یعنی، $F_{xi} \geq F_{yi}$. در این صورت داریم

$$X_i = F_{xi} \cos \delta_i - F_{yi} \sin \delta_i \cong F_{xi} \cos \delta_i \quad (69-a)$$

$$Y_i = F_{xi} \sin \delta_i + F_{yi} \cos \delta_i \cong F_{xi} \sin \delta_i \quad (69-b)$$

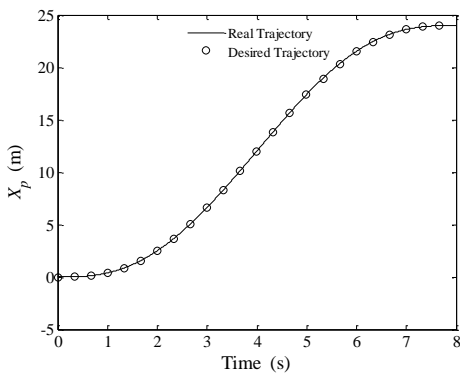
با استفاده از دو رابطه فوق می‌توان زاویه‌ی فرمان را به صورت ذیل نوشت:

$$\delta_i \approx \text{atan}2(Y_i, X_i) \quad (70)$$

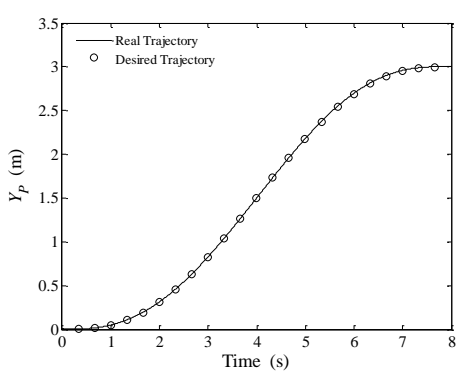
اکنون با توجه به معلوم بودن زاویه‌ی فرمان و به کمک روابط (69)، میزان نیروی رانشی مورد نیاز به دست می‌آید. با استفاده از روند ارایه شده در "شکل 7"، گشتاور اعمالی به هر چرخ به دست می‌آید. به منظور نشان دادن صحت الگوریتم پیشنهادی، ربات چرخ داری با مشخصات ارایه شده در "جدول 1" در نظر گرفته شده است. جهت سادگی، ربات مذکور قادر بازی رباتیک در نظر گرفته شده است. این سیستم باید مانوری را در صفحه‌ی افقی XY انجام دهد، "شکل 14" و "شکل 15". همچنان که در "شکل 14" و "شکل 15" ملاحظه می‌گردد، ربات به خوبی توانسته است مسیرهای حرکت زمانی مطلوب را تعقیب نماید.

6- جمع‌بندی و نتیجه‌گیری

در این مقاله یک ربات چرخ دار با در نظر گرفتن چرخ‌های بادی و مجهز به سیستم تعليق انعطاف‌پذیر، با در نظر گرفتن مدل دوگاف برای شبیه‌سازی اصطکاک و لغزش چرخ‌ها، مدل سازی دینامیکی شد. همچنین با در نظر گرفتن نیروی اصطکاک چرخ‌ها بعنوان ورودی‌های کنترلی، به ارائه یک قانون کنترلی دولایه جدید پرداختیم. در این قانون امکان کنترل زاویه رول پلتفرم با تنظیم نیروی اصطکاک چرخ‌ها فراهم گردید. در لایه‌ی نخست کنترل گر، حرکت روبات چرخ دار با استفاده از قانون کنترلی امپدانسی

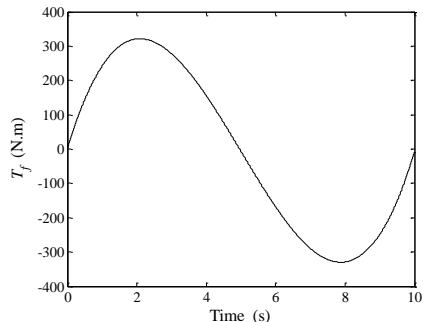


شکل 14 مسیر حرکت زمانی پلتفرم در امتداد محور X

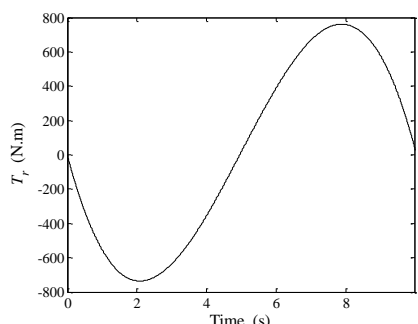


شکل 15 مسیر حرکت زمانی پلتفرم در امتداد محور Y

چندگانه‌ی اصلاح شده کنترل شد و در لایه‌ی دوم، که کنترل موضعی نامیده می‌شود، گشتاور اعمالی به چرخ‌ها و زوایای فرمان آن‌ها به شکلی تنظیم گردید که نیروها/گشتاورهای خروجی مطلوب لایه‌ی نخست محقق گردید. در لایه‌ی نخست کنترل کننده، به علت وجود مفاصل غیرفعال، استراتژی کنترلی امپدانس چندگانه (MIC) برای حالاتی که از مفاصل غیرفعال بهره گرفته می‌شود، اصلاح شد. نتایج شبیه‌سازی، قابلیت‌های مطلوب الگوریتم کنترلی



شکل 11 گشتاور اعمالی به چرخ جلو



شکل 12 گشتاور اعمالی به چرخ عقب

- and Mechatronics, Chengdu, China, pp. 1124-1129, 2008.
- [13] Y. Li, Y. Liu, Kinematics and tip-over stability analysis for the mobile modular manipulator, *Proceedings of the Institution of Mechanical Engineers, Part C-Mechanical Engineering Science*, Vol. 219, No.3, pp. 331-342, 2005.
- [14] A. K. Khalaji, S. A. A. Moosavian, Dynamic modeling and tracking control of a car with n trailers, *Multibody System Dynamics*, Vol. 37, No. 2, pp. 211-225, 2016.
- [15] A. Khanpoor, A. K. Khalaji, S. A. A. Moosavian, Dynamics and control of wheeled mobile robot attached by trailer with passive spherical wheels, *Modares Mechanical Engineering*, Vol. 15, No. 8, pp. 216-226, 2015.(in Persian)
- [16] A. K. Khalaji, S. A. A. Moosavian, Design and Implementation of a Fuzzy Sliding Mode Control Law for a Wheeled Robot Towing a Trailer, *Modares Mechanical Engineering*, Vol. 14, No. 4, pp. 91-98, 2014.(in Persian)
- [17] A. K. Khalaji, S. A. A. Moosavian, Stabilization of a tractor-trailer wheeled robot, *Mechanical Science and Technology*, Vol 30, No. 1, pp. 421-428, 2016.
- [18] C. B. Low, D. Wang, Maneuverability and path following control of wheeled mobile robot in the presence of wheel skidding and slipping, *Field Robotics*, Vol. 27, No. 2, pp.127-144, 2010.
- [19] Y. Tian, N. Sarkar, Control of a mobile robot subject to wheel slip, *Intelligent & Robotic Systems*, Vol. 74, No. 3-4, pp.915-929, 2014.
- [20] N. Sidek, N. Sarkar, Exploiting wheel slips of mobile robots to improve navigation performance, *Advanced Robotics*, Vol. 27, No. 8, pp.627-639, 2013.
- [21] J. H. Chung, S. Velinsky, Modeling and control of a mobile manipulator, *Robotica*, Vol. 16, No.6, pp. 607-613, 1998.
- [22] M. Eslamy, S. A. A. Moosavian, Dynamics modelling of suspended mobile manipulators: An explicit approach with verification, *Modelling and Simulation*, Vol. 31, No. 2, pp. 112-119, 2011.
- [23] M. Eslamy, S. A. A. Moosavian, Dynamics and cooperative object manipulation control of suspended mobile manipulators, *Intelligent & Robotic Systems*, Vol. 60, No. 2, pp. 181-199, 2010.
- [24] K. Alipour, S. A. A. Moosavian, Effect of terrain traction, suspension stiffness and grasp posture on the tip-over stability of wheeled robots with multiple arms, *Advanced Robotics*, Vol. 26, No. 8-9, pp. 817-842, 2012
- [25] S. Horiuchi, K. Okada, S. Nohtomi, Effects of integrated control of active four wheel steering and individual wheel torque on vehicle handling and stability: A comparison of alternative control strategies, *Proceedings of the 16th IA VSD*, Pretoria, Soth Africa, 1999.
- [26] S. A. A. Moosavian, E. Papadopoulos, Cooperative object manipulation with contact impact using multiple impedance control, *Control, Automation, and Systems*, Vol. 8, No. 2, pp. 314-327, 2010.
- [27] C. Ahn , H. Peng, H. E. Tseng, Robust estimation of road friction coefficient using lateral and longitudinal vehicle dynamics, *Vehicle System Dynamics*, Vol. 50, No. 6, pp. 961-985 , 2012.
- [28] K. B. Singh, S. Taheri, Estimation of tire-road friction coefficient and its application in chassis control systems, *Systems Science & Control Engineering*, Vol. 3, No. 1, pp. 39-61 . 2015.

جدید را برای ربات چرخ دار مجهز به سیستم تعیق با در نظر گرفتن مدل اصطکاک نشان می دهد.

7- تشریف و قدردانی

این مقاله از محل حمایت های مالی دانشگاه آزاد اسلامی واحد پرند، جهت انجام طرح پژوهشی داخلی این واحد استخراج شده است.

8- مراجع

- [1] Artist's conception of rover on Mars, Accessed on 20 January 2017; https://en.wikipedia.org/wiki/Mars_Exploration_Rover.
- [2] S. A. A. Moosavian, E. Papadopoulos, Free-flying robots in space: an overview of dynamics modeling, planning and control, *Robotica*, Vol. 25, No. 5, pp. 537-547, 2007.
- [3] A. Salerno, J. Angeles, A new family of two-wheeled mobile robots: Modeling and controllability, *IEEE Transactions on Robotics*, Vol. 23, No. 1, pp. 169-173, 2007.
- [4] S. K. Saha, J. Angeles, Dynamics of nonholonomic mechanical systems using a natural orthogonal complement, *Applied Mechanics*, Vol. 58, No. 1, pp. 238-243, 1991.
- [5] S. A. A. Moosavian, E. Papadopoulos, On the kinematics of multiple manipulator space free-flyers and their computation, *Robotic Systems*, Vol. 15, No. 4, pp. 207-216, 1998.
- [6] S. A. A. Moosavian, E. Papadopoulos, Explicit dynamics of space free-flyers with multiple manipulators via SPACEMAPLE, *Advanced robotics*, Vol. 18, No. 2, pp. 223-244, 2004.
- [7] R. Rastegari, S. A. A. Moosavian, Multiple impedance control of non-holonomic wheeled mobile robotic systems performing object manipulation tasks, *Engineering Faculty*, Tehran University, Vol. 39, No. 1, pp. 15-30, 2005. (in Persian)
- [8] E. Papadopoulos, J. Poulakakis, Planning and model-based control for mobile manipulators, *Proceedings of the IEEE/RSJ International Conference on in Intelligent Robots and Systems*, Takamatsu, Japan, pp. 1810-1815, 2000.
- [9] S. A. A. Moosavian, A. Mirani, Dynamics and motion control of wheeled robotic systems, *Esteghlal Engineering*, Isfahan University of Technology, Vol. 24, No. 2, pp. 193-214, 2006. (in Persian)
- [10] Q. Yu, I.-M. Chen, A general approach to the dynamics of nonholonomic mobile manipulator systems, *dynamic systems, measurement, and control*, Vol. 124, No. 4, pp. 512-521, 2002.
- [11] H. G. Tanner, K. J. Kyriakopoulos, N. Krikilis, Modeling of multiple mobile manipulators handling a common deformable object, *Robotic Systems*, Vol. 15, No. 11, pp. 599-623, 1998.
- [12] S. A. A. Moosavian, M. Eslamy, Object manipulation by multiple arms of a wheeled mobile robotic system, *IEEE Conference on Robotics, Automation*